

07,01

## Немонотонная скоростная зависимость динамического предела текучести сплавов в условиях высокоскоростной деформации

© В.В. Малашенко

Донецкий физико-технический институт им. А.А. Галкина,  
Донецк, Украина  
Донецкий национальный университет,  
Донецк, Украина  
E-mail: malashenko@fti.dn.ua

Поступила в Редакцию 5 апреля 2021 г.  
В окончательной редакции 27 апреля 2021 г.  
Принята к публикации 27 апреля 2021 г.

Теоретически исследовано скольжение краевых дислокаций в состаренном бинарном сплаве в условиях высокоскоростной деформации (high strain rate deformation). Получено аналитическое выражение для скоростной зависимости динамического предела текучести. Получены условия, при которых график скоростной зависимости может иметь два максимума и два минимума. Существование двух максимумов связано с наличием двух типов дефектов, значительно отличающихся своими размерами (атомы второго компонента и зоны Гинье–Престона). Минимумы имеют место при переходе от доминирования динамического торможения (drag) одним типом дефектов к доминированию дефектов другого типа. Максимумы возникают при изменении характера торможения доминирующими дефектами.

**Ключевые слова:** дислокации, высокоскоростная деформация, дефекты, зоны Гинье–Престона.

DOI: 10.21883/FTT.2021.09.51273.075

Высокоскоростная деформация, т.е. деформация со скоростями  $10^3–10^9 \text{ s}^{-1}$ , имеет место как на стадии изготовления различных деталей (ковка, штамповка, резка, высокоскоростная обработка), так и в процессе их эксплуатации (ударные нагрузки, сварка взрывом, воздействие лазерных импульсов и корпускулярных потоков, пробивание оболочек) [1–9]. Процесс высокоскоростной деформации существенно отличается от квазистатической деформации, поскольку при высокоэнергетических воздействиях дислокации совершают надбарьерное скольжение. В этом случае механизм диссипации дислокационной энергии заключается в необратимом переходе кинетической энергии поступательного движения дислокации в энергию ее изгибных колебаний в плоскости скольжения, которые возникают при взаимодействии дислокаций с другими дефектами структуры. Такой механизм весьма чувствителен к виду спектра дислокационных колебаний, прежде всего к наличию спектральной щели. Высокоскоростная деформация обычно анализируется с помощью метода молекулярной динамики, который визуализирует многие особенности динамического взаимодействия движущихся дислокаций с другими дефектами структуры, однако не позволяет получать аналитические зависимости механических свойств функциональных материалов от их упругих модулей и характеристик содержащихся в них дефектов. Для широкого круга задач дислокационной динамики такие зависимости можно получить в рамках развитой нами теории динамического взаимодействия структурных дефектов. Особый интерес представляет высокоскоростная деформация материалов, содержащих два типа структурных

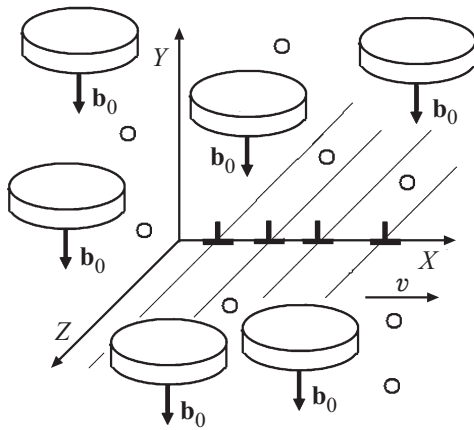
дефектов, существенно отличающихся своими размерами (например, зоны Гинье–Престона и атомы примеси). На возможность существования нескольких экстремумов на графике скоростной зависимости силы динамического торможения в таких материалах указывали авторы [10,11]. Целью настоящей работы является получение аналитического выражения скоростной зависимости динамического предела текучести состаренного бинарного сплава в условиях высокоскоростной деформации.

Поставленную задачу будем решать в рамках теории динамического взаимодействия структурных дефектов [11–15]. Пусть ансамбль бесконечных краевых дислокаций совершает надбарьерное скольжение под действием постоянного внешнего напряжения  $\sigma_0$  в положительном направлении оси  $OX$  с постоянной скоростью  $v$  в кристалле, содержащем зоны Гинье–Престона и атомы второго компонента (рис. 1). Линии дислокаций параллельны оси  $OZ$ , их векторы Бюргерса  $\mathbf{b} = (b, 0, 0)$  одинаковы и параллельны оси  $OX$ . Плоскость скольжения дислокаций совпадает с плоскостью  $XOZ$ . Положение  $k$ -ой дислокации определяется функцией

$$X_k(y = 0, z, t) = vt + w_k(y = 0, z, t). \quad (1)$$

Здесь  $w_k(y = 0, z, t)$  случайная величина, описывающая изгибные колебания дислокации, возбужденные ее взаимодействием с хаотически распределенными дефектами. Среднее значение этой величины по длине дислокации и по хаотическому распределению дефектов равно нулю.

Плоскости зон Гинье–Престона параллельны плоскости скольжения дислокаций, а их центры распределены



**Рис. 1.** Скольжение ансамбля краевых дислокаций в состаренном бинарном сплаве, содержащем зоны Гинье–Престона.

в кристалле случайным образом. Для простоты все зоны будем считать одинаковыми, то есть имеющими одинаковые радиусы  $R$ , одинаковую толщину равную диаметру атома второго компонента и одинаковые векторы Бюргерса  $\mathbf{b}_0 = (0, -b, 0)$  параллельные оси  $OY$ .

Динамический предел текучести сплава найдем как сумму вкладов силы динамического торможения дислокаций зонами Гинье–Престона  $\tau_g$ , атомами второго компонента  $\tau_d$ , фонованного торможения  $\tau_f$  и дислокационного торможения, определяемого соотношением Тейлора

$$\tau_T = \alpha \mu b \sqrt{\rho} = T, \tag{2}$$

где  $\mu$  — модуль сдвига,  $\rho$  — плотность дислокаций,  $\alpha$  — безразмерный коэффициент порядка единицы.

Для вычисления вклада зон Гинье–Престона воспользуемся результатами теории динамического взаимодействия структурных дефектов

$$\tau_G = \frac{n_G b^2}{4\pi^2 m c v} \int_{-\infty}^{\infty} dq_y \cdot \int_{\frac{v}{c}}^{\infty} dq_x q_x \frac{|\sigma_{xy}^G(q_x, q_y, 0)|^2}{\sqrt{q_x^2 - \frac{\Delta^2}{v^2}}}. \tag{3}$$

Здесь  $n_G$  — объемная концентрация зон Гинье–Престона,  $\sigma_{xy}^G$  — Фурье-образ компоненты тензора упругих напряжений, создаваемых этими зонами,  $m$  — масса единицы длины дислокации,  $\Delta$  — щель в спектре дислокационных колебаний

$$\omega(q_z) = \sqrt{c^2 q_z^2 + \Delta^2}, \tag{4}$$

где  $c$  — скорость распространения в кристалле поперечных звуковых волн.

Спектральная щель может быть создана коллективным взаимодействием с дислокацией атомов примеси или других дислокаций ансамбля и описывается выражением

$$\Delta = \frac{c}{b} \sqrt{\rho b^2 + \sqrt{n_d} \chi^2}. \tag{5}$$

Здесь  $n_d$  — безразмерная концентрация атомов второго компонента,  $\chi$  — параметр их несоответствия.

Вклад зон Гинье–Престона и атомов второго компонента ранее вычислялся в работе [13], однако выражение для них было получено только в области скоростей деформации

$$\dot{\epsilon} < \rho b c \sqrt{\rho b^2 + \sqrt{n_d} \chi^2} = \rho b^2 \Delta. \tag{6}$$

При таких скоростях динамическое торможение дислокации зонами Гинье–Престона имеет характер сухого трения, т. е. не зависит от скорости, а торможение точечными дефектами характеризуется коллективным взаимодействием. В рассматриваемом нами случае необходимо получить выражение для  $\tau_G$  и  $\tau_d$  во всей динамической области скоростей. Выполняя необходимые вычисления, получим

$$\tau_d = \beta \frac{\dot{\epsilon}}{1 + (\dot{\epsilon}/\dot{\epsilon}_d)^2}; \quad \beta = \frac{B_d}{\rho b^2}; \quad B_d = \frac{\pi \mu^2 b n_d \chi^2}{3 m c \Delta^2}. \tag{7}$$

Здесь  $B_d$  — константа динамического торможения дислокации атомами второго компонента.

Выражение для вклада зон Гинье–Престона, справедливое для всей области высокоскоростной деформации, имеет вид

$$\tau_G = \frac{\eta}{1 + \dot{\epsilon}/\dot{\epsilon}_G}; \quad \eta = \mu n_G b_0^2 R \frac{c}{v_d}; \tag{8}$$

$$v_d = b \Delta; \quad \dot{\epsilon}_G = \rho R b \Delta. \tag{9}$$

Вклад фонованного торможения  $\tau_f$  описывается выражением

$$\tau_f = f \dot{\epsilon}; \quad f = \frac{B}{\rho b c}. \tag{10}$$

Здесь  $B$  — константа демпфирования, обусловленная фонованными, магнанными или электронными механизмами диссипации.

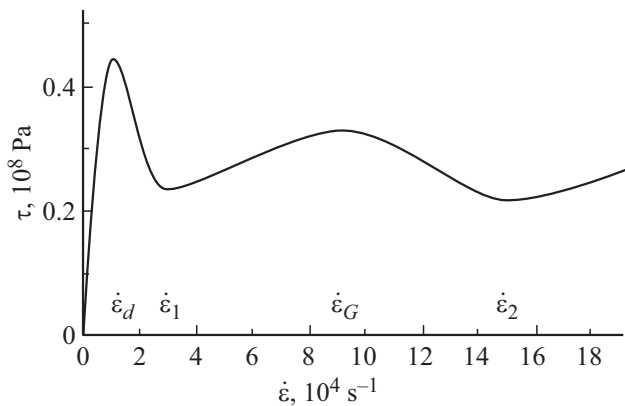
Таким образом, зависимость динамического предела текучести от скорости пластической деформации примет следующий вид

$$\tau = \beta \frac{\dot{\epsilon}}{1 + (\dot{\epsilon}/\dot{\epsilon}_d)^2} + \frac{\eta}{1 + \dot{\epsilon}/\dot{\epsilon}_G} + f \dot{\epsilon} + T. \tag{11}$$

Анализ полученного выражения показывает, что график этой зависимости может иметь два минимума и два максимума при выполнении условий

$$1 > \frac{B}{B_d} > \left(\frac{b}{R}\right)^2. \tag{12}$$

Первый максимум полученной зависимости соответствует максимальному значению силы торможения дислокации атомами второго компонента. Он имеет место при скорости дислокации  $v_d = b \Delta$ . Именно в этой точке происходит переход от коллективного взаимодействия точечных дефектов с дислокацией ( $v < v_d$ ) к независимым столкновениям с ней ( $v > v_d$ ). При такой скорости



**Рис. 2.** Зависимость динамического предела текучести составного сплава от скорости пластической деформации.

движения дислокаций скорость пластической деформации равна

$$\dot{\epsilon}_d = \rho b v_d = \rho b^2 \Delta. \quad (13)$$

Второй максимум имеет место при дислокационной скорости  $v_G = R\Delta$ . В этой точке сила торможения дислокации зонами Гинье–Престона максимальна и вносит главный вклад в дислокационное торможение. Характер торможения дислокации этими зонами меняется при  $v = v_G$ . При  $v < v_G$  это торможение имеет характер сухого трения, т.е. не зависит от скорости. При  $v > v_G$  сила торможения начинает убывать с ростом скорости. Соответствующая скорость пластической деформации равна

$$\dot{\epsilon}_G = \rho b v_G = \rho R b \Delta. \quad (14)$$

Нетрудно убедиться, что положения максимумов связаны между собой следующими соотношениями

$$v_G = \frac{R}{b} v_d; \quad \dot{\epsilon}_G = \frac{R}{b} \dot{\epsilon}_d. \quad (15)$$

Первый минимум скоростной зависимости находится в точке  $v_1 = v_d \sqrt{B_d/B}$ . В этой точке происходит переход от доминирования торможения дислокации точечными дефектами ( $v < v_1$ ) к доминированию торможения фононами и зонами Гинье–Престона ( $v > v_1$ ).

Положение второго минимума определяется скоростью  $v_2$

$$v_2 = \sqrt{\frac{\lambda_G + B_d v_d^2}{B}}; \quad \lambda_G = \mu \frac{n_G b_0^2 R^2 c}{(1 - \gamma)^2}, \quad (16)$$

где  $\gamma$  — коэффициент Пуассона.

Эта скорость определяет переход от доминирования торможения зонами Гинье–Престона ( $v < v_2$ ) к преобладанию фононного торможения ( $v > v_2$ ). Скорости пластической деформации, соответствующие найденным минимумам, равны  $\dot{\epsilon}_1 = \rho b v_1$ ,  $\dot{\epsilon}_2 = \rho b v_2$ .

Полученная зависимость схематически представлена на рис. 2. Выполним численные оценки. Для значений  $R = 4 \cdot 10^{-9}$  м,  $b = 3 \cdot 10^{-10}$  м,  $\chi = 3 \cdot 10^{-2}$ ,

$c = 3 \cdot 10^3$  м/с,  $\mu = 5 \cdot 10^{10}$  Па,  $m = 10^{-16}$  кг/м,  $\rho = 10^{12}$  м<sup>-2</sup>,  $n_d = 10^{-4}$  получим  $\Delta = 10^{11}$  с<sup>-1</sup>,  $B_d = 10^{-4}$  Па · с. Условие (12) будет выполняться для значения константы фононного торможения  $B = 10^{-5}$  Па · с. Значения дислокационных скоростей, определяющих положение экстремумов исследуемой функции, равны:  $v_d = 30$  м/с,  $v_1 = 90$  м/с,  $v_G = 300$  м/с,  $v_2 = 500$  м/с. Оценим соответствующие им скорости пластической деформации:  $\dot{\epsilon}_d = 9 \cdot 10^3$  с<sup>-1</sup>,  $\dot{\epsilon}_1 = 3 \cdot 10^4$  с<sup>-1</sup>,  $\dot{\epsilon}_G = 9 \cdot 10^4$  с<sup>-1</sup>,  $\dot{\epsilon}_2 = 2 \cdot 10^5$  с<sup>-1</sup>.

Полученная нами функция при  $\dot{\epsilon} < \dot{\epsilon}_d$  характеризуется линейной скоростной зависимостью. Линейная зависимость предела текучести наблюдалась в экспериментальных работах [16,17]. Авторы экспериментальной работы [18] наблюдали немонотонную скоростную зависимость, имеющую максимум. Для наблюдения двух максимумов необходим целенаправленный эксперимент с обязательным выполнением условия (12).

Таким образом, наличие структурных дефектов, существенно отличающихся своими размерами, приводит к возникновению немонотонной скоростной зависимости предела текучести, имеющей несколько экстремумов.

### Конфликт интересов

Автор заявляет, что у него нет конфликта интересов.

### Список литературы

- [1] G.I. Kanel, S.V. Razorenov, G.V. Garkushin, A.V. Pavlenko, S.N. Maluygina. Phys.Solid State **58**, 6, 1191 (2016).
- [2] Г.И. Канель, Е.Б. Зарецкий, С.В. Разоренов, С.И. Ашитков, В.Е. Фортгов. УФН **5**, 525 (2017).
- [3] P.N. Mayer, A.E. Mayer. J. Appl. Phys. **120**, 075901 (2016).
- [4] G.I. Kanel, G.V. Garkushin, S.V. Razorenov. Tech. Phys. **61**, 8, 1229 (2016).
- [5] J. Lee, D. Veysset, J. Singer, M. Retsch, G. Saini, T. Pezeril, K. Nelson, E. Thomas. Nature Commun. **3**, 1164 (2012).
- [6] S.V. Razorenov. Matter Rad. Extremes **3**, 145 (2018).
- [7] G.I. Kanel, S.V. Razorenov, G.V. Garkushin. J. Appl. Phys. **119**, 185903 (2016).
- [8] A.S. Savinykh, G.I. Kanel, G.V. Garkushin, S.V. Razorenov. J. Appl. Phys. **128**, 025902 (2020).
- [9] С.А. Атрошенко, А.Ю. Григорьев, Г.Г. Савенков. ФТТ **61**, 1738 (2019).
- [10] А.М. Косевич. Дислокации в теории упругости. Наук. думка, Киев (1978). 220 с.
- [11] V.V. Malashenko. Physica B **404**, 3890 (2009).
- [12] В.Н. Варюхин, В.В. Малашенко. Изв. РАН. Серия физ. **82**, 9, 37 (2018).
- [13] В.В. Малашенко. Письма в ЖТФ **46**, 18, 39 (2020).
- [14] В.В. Малашенко. ФТТ **61**, 10, 1845 (2019).
- [15] В.В. Малашенко. ФТТ **62**, 10, 1683 (2020).
- [16] W. Ronald, Armstrong, Werner Arnold, Frank J. Zerilli. J. Appl. Phys. **105**, 023511 (2009).
- [17] J.D. Campbell, W.G. Ferguson. Philosophical Magazine **21**, 169, 63 (1970).
- [18] J. Xing, L. Hou, H. Du, B. Liu, Y. Wei. Materials **12**, 3426 (2019).

Редактор Т.Н. Василевская